

ДИНАМИКА РЕШЕТКИ И СЕГНЕТОЭЛЕКТРИЧЕСКАЯ НЕУСТОЙЧИВОСТЬ В УПОРЯДОЧЕННЫХ И НЕУПОРЯДОЧЕННЫХ ТВЕРДЫХ РАСТВОРАХ $\text{PbSc}_{1/2}\text{Ta}_{1/2}\text{O}_3$ и $\text{PbSc}_{1/2}\text{Nb}_{1/2}\text{O}_3$

B. И. Зиненко^a, Н. Г. Замкова^a, Е. Г. Максимов^{b}, С. Н. Софронова^a*

*^a Институт физики им. Л. В. Киренского Сибирского отделения Российской академии наук
660036, Красноярск, Россия*

*^b Физический институт им. П. Н. Лебедева Российской академии наук
119991, Москва, Россия*

Поступила в редакцию 28 марта 2007 г.

В рамках обобщенной модели Гордона–Кима с учетом дипольных и квадрупольных поляризуемостей рассчитаны динамические заряды Борна и спектры частот колебаний кристаллической решетки упорядоченных и неупорядоченных твердых растворов PSN и PST. Вычисленные фононные спектры обоих соединений содержат сегнетоэлектрические мягкие моды. Исследовано влияние различных взаимодействий на величину динамических зарядов и сегнетоэлектрическую неустойчивость в данных твердых растворах. Показано, что в структуре перовскита величины динамических зарядов Борна и сегнетоэлектрическая неустойчивость определяются конкуренцией между дальнодействующими диполь–дипольными и короткодействующими диполь–зарядовыми взаимодействиями, причем определяющую роль играют взаимодействия катиона Nb (Ta) и кислорода в направлении связи Nb(Ta)–O.

PACS: 61.50.Ah, 63.20.Dj, 71.15.Mb

1. ВВЕДЕНИЕ

Среди многочисленных сегнетоэлектрических материалов особый интерес представляют твердые растворы $\text{PbSc}_{1/2}\text{Ta}_{1/2}\text{O}_3$ (PST) и $\text{PbSc}_{1/2}\text{Nb}_{1/2}\text{O}_3$ (PSN), в полностью неупорядоченной фазе имеющие структуру перовскита. Физические свойства и характер фазовых переходов в этих соединениях зависят от степени упорядочения ионов скандия и tantala (ниобия). В разупорядоченных соединениях происходит размытый сегнетоэлектрический фазовый переход с проявлением релаксаторных свойств, зависящих от степени упорядочения, тогда как упорядоченные соединения PST ($\text{Pb}_2\text{ScTaO}_6$) и PSN ($\text{Pb}_2\text{ScNbO}_6$) ведут себя как обычные сегнетоэлектрики (см. работы [1–4] и ссылки в них).

Высокотемпературная фаза разупорядоченных твердых растворов PST и PSN имеет симметрию $Pm\bar{3}m$ (структурата перовскита с химической формул-

лой ABO_3), упорядоченных твердых растворов — $Fm\bar{3}m$ (структура эльпасолита). При понижении температуры как упорядоченные, так и неупорядоченные твердые растворы испытывают сегнетоэлектрический фазовый переход в ромбоэдрическую фазу. Симметрия низкотемпературной фазы PSN — $R\bar{3}m$. Симметрия низкотемпературной ромбоэдрической фазы в PST до настоящего времени окончательно не определена [4–6].

Большинство экспериментальных работ посвящено исследованию структуры и физических свойств в области сегнетоэлектрического фазового перехода в этих соединениях. Как показано в работах [7–9], в неупорядоченных твердых растворах имеются упорядоченные нанообласти. Их наличие подтверждается экспериментальными исследованиями динамики кристаллической решетки методом комбинационного рассеяния света (раман-спектроскопия) [8, 9]. По симметрии в высокотемпературной фазе неупорядоченных твердых растворов нет раман-активных

*E-mail: maksimov@lpi.ru

Таблица 1. Параметры решетки a_0 и модули упругости C_{ij} неупорядоченных и упорядоченных твердых растворов PSN и PST

| Неупорядоченные | a_0 , Å | C_{11} , 10^2 ГПа | C_{12} , 10^2 ГПа | C_{44} , 10^2 ГПа |
|--|-----------|-----------------------|-----------------------|-----------------------|
| PbSc _{1/2} Nb _{1/2} O ₃ | 3.94 | 1.58 | 0.72 | 0.82 |
| PbSc _{1/2} Ta _{1/2} O ₃ | 4.03 | 2.09 | 0.74 | 0.75 |
| Эксперимент PbSc _{1/2} Ta _{1/2} O ₃ [21] | | 1.84 | 0.64 | 0.58 |
| Упорядоченные | | | | |
| Pb ₂ ScNbO ₆ | 7.88 | 1.64 | 0.74 | 0.86 |
| Pb ₂ ScTaO ₆ | 8.04 | 2.12 | 0.73 | 0.77 |

Таблица 2. Динамические заряды Борна Z_{din} (в единицах e) и высокочастотная диэлектрическая проницаемость ϵ_∞ неупорядоченных и упорядоченных твердых растворов PSN и PST

| Неупорядоченные | $Z_{din}(\text{Pb})$ | $Z_{din}(\langle \text{ScNb(Ta)} \rangle)$ | $Z_{din,\parallel}(\text{O})$ | $Z_{din,\perp}(\text{O})$ | ϵ_∞ |
|--|----------------------|--|-------------------------------|-------------------------------|---------------------------|
| PbSc _{1/2} Nb _{1/2} O ₃ | 2.93 | 5.60 | -4.71 | -1.90 | 4.47 |
| PbSc _{1/2} Ta _{1/2} O ₃ | 2.81 | 4.41 | -3.07 | -2.07 | 4.18 |
| Упорядоченные | $Z_{din}(\text{Pb})$ | $Z_{din}(\text{Sc})$ | $Z_{din}(\text{Nb(Ta)})$ | $Z_{din,\parallel}(\text{O})$ | $Z_{din,\perp}(\text{O})$ |
| Pb ₂ ScNbO ₆ | 2.99 | 4.76 | 6.44 | -4.82 | -1.89 |
| Pb ₂ ScTaO ₆ | 2.83 | 4.03 | 4.36 | -2.70 | -2.16 |
| | | | | | 3.56 |

мод, однако исследования показывают, что спектры упорядоченных и неупорядоченных твердых растворов практически не различаются. Наличие упорядоченных нанообластей приводит к тому, что в неупорядоченных твердых растворах при сегнетоэлектрическом фазовом переходе наблюдается более сложная картина искажений кристаллической решетки, чем в упорядоченных твердых растворах PSN и PST. И, как отмечается в работах [7, 10], в этом случае важную роль при фазовом переходе играют не только сегнетоэлектрическая «мягкая» мода, но и антисегнетоэлектрическая «мягкая» мода в PSN и «мягкая» мода, связанная с поворотом октаэдра, в PST. Теоретических расчетов динамики решетки твердых растворов PSN и PST — как упорядоченных, так и неупорядоченных, — по-видимому, не проводилось. В настоящей работе в рамках обобщенной модели Гордона–Кима с учетом мультипольных поляризаций исследуется динамика решетки упорядоченных и неупорядоченных твердых растворов PSN и PST и обсуждаются причины сегнетоэлектрической неустойчивости в этих соединениях.

2. РЕЗУЛЬТАТЫ И ИХ ОБСУЖДЕНИЕ

Спектр частот колебаний, высокочастотная диэлектрическая проницаемость, динамические заряды Борна и упругие модули в упорядоченных и неупорядоченных твердых растворах PSN и PST вычисляются нами в рамках обобщенной модели Гордона–Кима ионного кристалла с учетом деформируемости, дипольных и квадрупольных искажений электронной плотности ионов [11]. В случае неупорядоченного твердого раствора использовалось приближение «виртуального кристалла» [12]. Электронная плотность отдельного иона и его собственная энергия в модели Гордона–Кима вычисляются с учетом кристаллического потенциала, аппроксимированного потенциалом сферы Ватсона. Параметры решетки определялись минимизацией полной энергии кристалла. В структуре эльпасолита ионы O⁻² имеют одну свободную координату, связанную со смещениями ионов кислорода вдоль связи Ta(Nb)–O. Положения ионов кислорода в кубической фазе упорядоченных твердых растворов также находились из

Таблица 3. Динамические заряды (в единицах e) $Z_{din}(\text{B})$ и кислорода $Z_{din,\square}(\text{O})$ в неупорядоченных и упорядоченных твердых растворах PSN и PST, вычисленные с учетом различных взаимодействий

| | $\gamma = 0; \Gamma = 0;$ $T = 0$ | | $\gamma \neq 0; \Gamma = 0;$ $T = 0$ | | $\gamma \neq 0; \Gamma \neq 0;$ $T = 0$ | | $\gamma \neq 0; \Gamma \neq 0;$ $T \neq 0$ | | $\gamma \neq 0; \Gamma \neq 0;$ $T \neq 0$ $T_{\text{B-O}_{\parallel}} = 0$ | |
|---------------------------------|--------------------------------------|---------|---|---------|--|---------|---|---------|---|---------|
| | Упоряд. | Неупор. | Упоряд. | Неупор. | Упоряд. | Неупор. | Упоряд. | Неупор. | Упоряд. | Неупор. |
| PSN | $\varepsilon_{\infty} = 3.23$ | 3.53 | $\varepsilon_{\infty} = 3.24$ | 3.55 | $\varepsilon_{\infty} = 3.86$ | 4.47 | $\varepsilon_{\infty} = 3.86$ | 4.47 | $\varepsilon_{\infty} = 3.86$ | 4.47 |
| Nb/ $\langle \text{B} \rangle$ | 8.72 | 7.38 | 9.67 | 8.11 | 12.19 | 10.71 | 6.14 | 5.60 | 15.47 | 13.45 |
| O $_{\parallel}$ | -3.49 | -3.69 | -7.83 | -8.36 | -10.16 | -11.55 | -4.32 | -4.71 | -8.99 | -12.57 |
| PST | $\varepsilon_{\infty} = 3.10$ | 3.41 | $\varepsilon_{\infty} = 3.11$ | 3.42 | $\varepsilon_{\infty} = 3.56$ | 4.18 | $\varepsilon_{\infty} = 3.56$ | 4.18 | $\varepsilon_{\infty} = 3.56$ | 4.18 |
| Ta/ $\langle \text{B} \rangle$ | 8.51 | 7.22 | 8.83 | 7.77 | 10.19 | 9.75 | 4.36 | 4.41 | 13.91 | 12.78 |
| O $_{\parallel}$ | -3.40 | -3.61 | -7.08 | -8.06 | -8.50 | -10.58 | -2.70 | -3.07 | -7.47 | -11.44 |
| PST* | $\varepsilon_{\infty} = 3.43$ | 3.48 | $\varepsilon_{\infty} = 3.45$ | 3.50 | $\varepsilon_{\infty} = 4.37$ | 4.46 | $\varepsilon_{\infty} = 4.37$ | 4.46 | $\varepsilon_{\infty} = 4.37$ | 4.46 |
| Ta*/ $\langle \text{B} \rangle$ | 9.05 | 7.30 | 10.44 | 8.41 | 14.88 | 11.70 | 5.07 | 5.20 | 20.03 | 14.88 |
| O $_{\parallel}$ | -3.62 | -3.65 | -8.67 | -8.69 | -12.53 | -12.49 | -3.56 | -4.01 | -11.04 | -13.69 |

минимума полной энергии. И в PSN, и в PST кислородный октаэдр «поджимается» к иону Ta(Nb) на 0.08 Å. В табл. 1 приведены вычисленные и экспериментальные значения параметров решетки полностью упорядоченных и неупорядоченных соединений PSN и PST. Расчетные значения параметров элементарной ячейки в пределах 3.5 % согласуются с экспериментальными данными. В этой же таблице приведены рассчитанные и известные экспериментальные значения упругих постоянных.

Характерной особенностью многих окислов со структурой перовскита являются аномально большие значения динамического заряда Борна катиона B и компоненты динамического заряда аниона кислорода $Z_{\text{O}_{\parallel}}$ вдоль связи B–O [13]. Однако рассчитанные нами динамические заряды Борна в танталовых соединениях, в отличие от окислов других составов, невелики (табл. 2). В твердом растворе PST динамический заряд Борна Ta $^{+5}$ оказывается меньше номинального, хотя в изоморфном ему твердом растворе PSN величина динамического заряда Борна Nb $^{+5}$ близка к зарядам B-катионов в окислах со структурой перовскита. Такая тенденция к уменьшению динамического заряда с ростом атомного номера катиона B наблюдается и в ряду чистых перовскитов ABO₃ [14]. В модели поляризуемого иона высокочастотная диэлектрическая проницаемость и динами-

ческие заряды Борна в кристаллах кубической симметрии могут быть представлены в виде [10, 15]

$$\varepsilon_{\infty} = I + \frac{4\pi}{\Omega} \alpha_{eff} \left(I - \frac{4\pi}{3\Omega} \alpha_{eff} \right)^{-1}, \quad (1)$$

$$Z_{din}(i) = \frac{\varepsilon_{\infty} + 2}{3} Z_{eff}(i), \quad (2)$$

$Z_{eff}(i)$ и α_{eff} — эффективный заряд и поляризумость иона в кристалле, определяемые близкодействующими взаимодействиями:

$$\alpha_{eff,ij}^{\alpha\beta} = \alpha_j \left[\delta_{\alpha\beta} + \alpha_i \left(\gamma_{ij}^{\alpha\beta} + \Gamma_{ij}^{\alpha\beta} \right) \right]^{-1}, \quad (3)$$

$$Z_{eff}^{\alpha\beta}(i) = Z_{ion}(i) \delta_{\alpha\beta} - \\ - \sum_{j,\gamma} \alpha_{eff,ij}^{\alpha\gamma} \left(T_{ji}^{\gamma\beta} - \left(\frac{4\pi}{3\Omega} \delta_{\gamma\beta} - \gamma_{ji}^{\gamma\beta} \right) Z_{ion}(j) \right). \quad (4)$$

Здесь γ характеризует отличие внутреннего поля на ионе от поля Лоренца, описывающее дипольное межъячеекое взаимодействие, а матрицы Γ и T описывают короткодействующие взаимодействия между протяженными диполями и протяженными диполями и зарядами. В структуре перовскита на ионах кислорода, находящихся в тетрагональных позициях, значения нелоренцевых структурных констант $\gamma_{ij}^{\gamma\beta}$ отличны от нуля и особенно велики в направлении связи B–O. Именно эти компоненты $\gamma_{ij}^{\gamma\beta}$

Таблица 4. Частоты колебаний (см^{-1}) при $q = 0$ для упорядоченных и при $q = 0$ и $q = R$ для неупорядоченных твердых растворов PSN и PST. (В скобках указано вырождение мод)

| Неупорядоченные (структура первовскита) | | | Упорядоченные (структура эльпасолита) | | | |
|--|-------|-------|--|-------|-------|------------------------|
| | PSN | PST | | PSN | PST | Эксперимент PST [8] |
| $q = 0$ | | | $q = 0$ | | | |
| $T_{1u}(2)$ TO | 80.2i | 56.9i | $T_{1u}(2)$ TO | 83.0i | 69.3i | |
| $T_{1u}(1)$ LO | 80.9 | 107.9 | $T_{1u}(1)$ LO | 86.3 | 110.1 | |
| $T_{2u}(3)$ | 182.3 | 173.6 | $T_{2u}(3)$ | 200.1 | 185.7 | |
| $T_{1u}(2)$ TO | 186.2 | 232.9 | $T_{1u}(2)$ TO | 160.2 | 245.4 | |
| $T_{1u}(1)$ LO | 312.1 | 313.8 | $T_{1u}(1)$ LO | 281.0 | 258.2 | |
| $T_{1u}(2)$ TO | 326.7 | 499.4 | $T_{1u}(2)$ TO | 389.1 | 558.1 | |
| $T_{1u}(1)$ LO | 483.8 | 560.2 | $T_{1u}(1)$ LO | 524.5 | 605.7 | |
| $q = R$ | | | $q = R$ | | | |
| $R_{15}(3)$ | 65.1i | 62.6i | $T_{2g}(3)$ | 55.8i | 64.7i | 50 |
| $R_{25}(3)$ | 57.4 | 67.3i | $T_{1g}(3)$ | 66.5 | 86.7i | |
| $R_{15}(3)$ | 228.5 | 228.4 | $T_{2g}(3)$ | 247.7 | 244.7 | 370 |
| $R_{25'}(3)$ | 305.4 | 256.8 | $T_{1u}(2)$ TO | 309.6 | 264.1 | |
| | | | $T_{1u}(1)$ LO | 334.8 | 365.3 | |
| $R_{12'}(2)$ | 283.7 | 460.8 | $E_g(2)$ | 336.3 | 509.5 | 500 |
| $R_{2'}(1)$ | 585.9 | 602.8 | $A_{1g}(1)$ | 616.9 | 643.5 | 740 |

приводят к увеличению эффективной поляризуемости кислорода σ_{eff} в направлении связи В–О и появлению в окисных соединениях аномально больших динамических зарядов Борна [11, 15], в том числе и в твердых растворах PSN и PST. Это иллюстрируется табл. 3, где показаны вычисленные по формулам (1)–(4) вклады в динамические заряды ионов Nb, Ta, O_{||} (для экономии места мы не приводим вклады в динамический заряд свинца и в компоненту заряда кислорода $Z_{O\perp}$). Учет короткодействующего диполь–дипольного взаимодействия приводит к еще большей анизотропии $\hat{\alpha}_{eff}$ кислорода и к увеличению заряда Борна (табл. 3, столбец 3). В то же время короткодействующие взаимодействия между протяженными диполями и сферически распределенной плотностью заряда существенно уменьшают величину динамических зарядов Борна (табл. 3, столбец 4). Как показывают наши расчеты, в основном

это уменьшение динамического заряда иона металла в центре октаэдра и компоненты заряда иона кислорода вдоль связи В–О связано со взаимодействием между протяженным диполем иона кислорода со сферической плотностью иона В (значение диэлектрической проницаемости (1) от этого взаимодействия не зависит). В столбце 5 табл. 3 приведены динамические заряды Борна, вычисленные в случае, когда выключено только короткодействующее взаимодействие между протяженным диполем кислорода и протяженным зарядом Nb(Ta) (элемент матрицы \mathbf{T} T_{B-O}). Как видно в табл. 3 (столбцы 3 и 5), отсутствие только одного этого взаимодействия приводит даже к незначительному увеличению динамического заряда на ионе В по сравнению с полным отсутствием короткодействующих взаимодействий диполь–заряд. Как показывают наши расчеты, это связано с тем, что короткодействующее взаимодействие

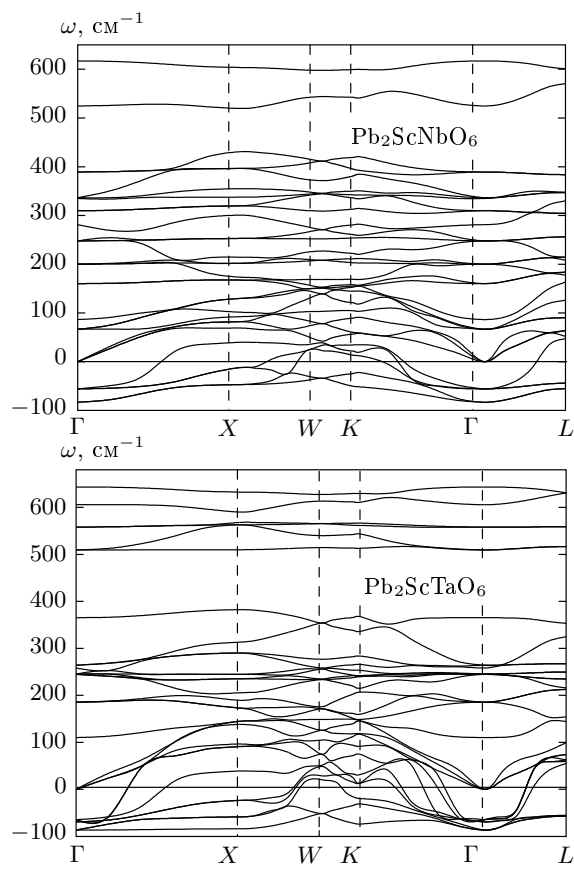


Рис. 1. Рассчитанные фононные спектры упорядоченных твердых растворов PSN и PST. (Мнимые частоты указаны отрицательными значениями)

протяженных зарядов В и протяженных диполей O_{\perp} увеличивают динамический заряд иона В (хотя по величине это взаимодействие значительно меньше).

Следует отметить, что на значение динамического заряда влияет и величина поляризуемости иона металла. Мы рассчитали динамические заряды Борна (табл. 3) для твердого раствора PST* с возбужденным ионом Ta^{*+5} , имеющим конфигурацию внешних электронов $5s^25p^64f^45d^{10}$ (невозбужденный ион Ta^{+5} имеет конфигурацию внешних электронов $5s^25p^64f^{14}$). Поляризуемость возбужденного иона Ta^{*+5} увеличивается более чем в три раза по отношению к невозбужденному Ta^{+5} , но при этом и вклад от короткодействующей части заряд-дипольных взаимодействий в эффективный заряд (4) также увеличивается почти в два раза. Совместное действие этих двух эффектов приводит лишь к небольшому увеличению динамических зарядов Борна.

Таким образом, величины динамических зарядов

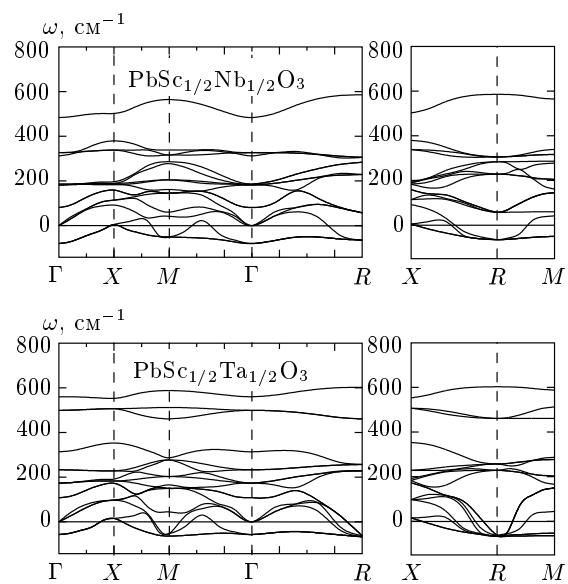


Рис. 2. Рассчитанные фононные спектры неупорядоченных твердых растворов PSN и PST. (Мнимые частоты указаны отрицательными значениями)

дов Борна определяются достаточно тонким балансом между конкурирующими дальнодействующими диполь-дипольными и короткодействующими диполь-зарядовыми взаимодействиями.

Подобный баланс конкурирующих взаимодействий определяет и неустойчивость окислов со структурой перовскита по отношению к полярной поперечной mode колебаний кристаллической решетки.

На рис. 1 и 2 показаны вычисленные полные фононные спектры соответственно для неупорядоченных и упорядоченных твердых растворов PSN и PST при экспериментальном параметре решетки. В табл. 4 приведены полученные значения частот в центре зоны Бриллюэна и в точке $R = \frac{2\pi}{a_0} (\frac{1}{2} \frac{1}{2} \frac{1}{2})$. Полученные частоты колебаний кристаллической решетки мало различаются в случае упорядоченных и неупорядоченных твердых растворов. Такая схожесть спектров колебаний отмечалась и в экспериментальных исследованиях данных соединений [8, 9].

Как видно в табл. 2 и 4, несмотря на различие в величинах динамических зарядов Борна пятивалентных катионов в твердых растворах PSN и PST, как упорядоченные, так и неупорядоченные соединения неустойчивы по отношению к сегнетоэлектрической mode колебаний. Обсудим более подробно случай неупорядоченных соединений, т. е. структуру перовскита. К настоящему времени, по-видимому,

Таблица 5. Частоты низкоэнергетической полярной моды (см^{-1}) и вклады дальнодействующих диполь-дипольных и короткодействующих взаимодействий в диагональные элементы силовой матрицы (в единицах $4\pi e^2/\Omega$)

| | | | A | | B | | O_{\parallel} | | O_{\perp} | |
|--|----------|---------------|----------|----------|----------|----------|-----------------|----------|-------------|----------|
| | ω | ω_{sh} | k_{dd} | k_{sh} | k_{dd} | k_{sh} | k_{dd} | k_{sh} | k_{dd} | k_{sh} |
| BaTiO ₃ | -96 | 142 | -1.36 | 3.75 | -5.05 | 8.56 | -4.77 | 6.23 | -0.37 | 1.86 |
| BaZrO ₃ | 25 | 116 | -1.26 | 3.68 | -4.97 | 14.21 | -3.99 | 10.82 | -0.46 | 1.61 |
| PbTiO ₃ | -77 | 127 | -1.22 | 3.92 | -4.72 | 8.49 | -4.01 | 5.88 | -0.42 | 1.46 |
| PbZrO ₃ | -67 | 96 | -3.40 | 3.01 | -4.80 | 14.0 | -3.15 | 9.80 | -0.60 | 1.54 |
| SrTiO ₃ | 68 | 160 | -1.14 | 3.31 | -5.59 | 9.95 | -4.76 | 8.18 | -0.40 | 1.74 |
| KNbO ₃ | -298 | 113 | -0.29 | 1.88 | -8.16 | 8.79 | -5.98 | 3.73 | -0.23 | 2.37 |
| KTaO ₃ | 129 | 147 | -0.30 | 1.90 | -3.51 | 19.43 | -1.24 | 14.36 | -0.43 | 2.65 |
| PbSc _{1/2} Nb _{1/2} O ₃ | -80 | 76 | -1.31 | 2.76 | -4.86 | 10.02 | -3.40 | 6.40 | -0.54 | 1.88 |
| PbSc _{1/2} Ta _{1/2} O ₃ | -57 | 96 | -1.27 | 2.76 | -3.12 | 14.82 | -1.52 | 10.56 | -0.69 | 2.98 |

Таблица 6. Квадраты частот низкоэнергетической полярной моды и отношение C_0/C_1 (в единицах $4\pi e^2/\Omega$)

| | ω_{sh}^2 | $-C_{0,sh}/C_{1,sh}$ | ω^2 | $-C_0/C_1$ |
|--|-----------------|----------------------|------------|------------|
| BaTiO ₃ | 1.08 | 0.72 | -0.31 | -0.48 |
| BaZrO ₃ | 1.01 | 0.61 | 0.034 | 0.028 |
| PbTiO ₃ | 0.80 | 0.58 | -0.23 | -0.31 |
| PbZrO ₃ | 0.75 | 0.58 | -0.29 | -0.33 |
| SrTiO ₃ | 1.13 | 0.75 | 0.16 | 0.15 |
| KNbO ₃ | 0.53 | 0.40 | -2.97 | -3.05 |
| KTaO ₃ | 1.04 | 0.77 | 0.69 | 0.55 |
| PbSc _{1/2} Nb _{1/2} O ₃ | 0.48 | -0.40 | -0.41 | -0.64 |
| PbSc _{1/2} Ta _{1/2} O ₃ | 0.62 | 0.73 | -0.25 | -0.27 |

наиболее признанным механизмом сегнетоэлектрической неустойчивости окислов со структурой перовскита является дипольный механизм, а именно дальнодействующие диполь-дипольные взаимодействия. Этот механизм многократно обсуждался в рамках как эмпирических моделей ионных кристаллов с поляризуемыми ионами (см. обзор [15] и ссылки в нем), так и квантовомеханических расчетов окислов со структурой перовскита [11, 13, 16–18]. Отметим,

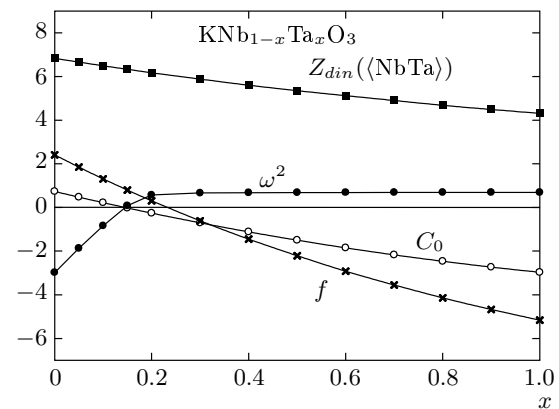


Рис. 3. Зависимость динамического заряда (в единицах e^2) среднего иона (■), элемента силовой матрицы $f = D_{B-O_{\parallel}}$ (×), коэффициента C_0 (○) и квадрата частоты низкоэнергетической полярной моды (●) от концентрации Та в твердом растворе $\text{KNb}_{1-x}\text{Ta}_x\text{O}_3$ (в единицах $4\pi e^2/\Omega$)

что в литературе обсуждается и другой механизм неустойчивости кубической структуры перовскита, основанный на предположении о наличии в кубической фазе нескольких равновероятных положений равновесия для иона В [19]. В работах Квятковского [16–18] на основе расчетов из первых принципов было подтверждено, что межъячеичное дальнодействующее диполь-дипольное взаимодействие понижает частоты полярных мод колебаний решетки и

может являться причиной неустойчивости кристалла. В частности, на основе квантовохимических кластерных расчетов вкладов дальнодействующих диполь-дипольных и короткодействующих взаимодействий в диагональные элементы силовой матрицы для ряда соединений со структурой перовскита было показано, что в окисных соединениях дальнодействующие вклады аномально велики по сравнению с нормальными диэлектриками [18]. В этой же работе показано, что без учета дальнодействующего диполь-дипольного взаимодействия минимум энергии в кубической фазе отвечает центральному положению иона В.

Дальнодействующий диполь-дипольный вклад в диагональный элемент силовой матрицы имеет вид [18]

$$k_{dd}^{ii} = -\frac{4\pi e^2}{\Omega} \frac{Z_{din}^2(i)}{\varepsilon_\infty + 2}. \quad (5)$$

В табл. 5 для неупорядоченных PSN и PST приведены дальнодействующий k_{dd}^{ii} и короткодействующий k_{sh}^{ii} вклады в диагональные элементы силовой матрицы. Значение k_{sh}^{ii} получено вычитанием k_{dd}^{ii} из полной величины диагонального элемента, вычисленного в рамках используемого здесь метода расчета. В первых двух колонках показаны значение частоты низкоэнергетической («мягкой») полярной моды с учетом всех взаимодействий в кристалле и с исключенным дальнодействующим диполь-дипольным взаимодействием k_{dd}^{ij} . В этой же таблице приведены для сравнения перечисленные выше величины и для ряда окислов со структурой перовскита.

В табл. 5 видно, что поляризационные диполь-дипольные взаимодействия определяют сегнетоэлектрическую неустойчивость кубической фазы в окисах со структурой перовскита: при выключении этого взаимодействия все рассмотренные соединения становятся устойчивыми по отношению к полярным колебаниям (см. столбец 3 в табл. 5). Эти результаты хорошо согласуются с результатами расчетов из первых принципов работы [18] для конечных кластеров. Однако из простого сравнения вычисленных короткодействующих и дальнодействующих вкладов в элементы силовой матрицы не представляется возможным сделать вывод о сегнетоэлектрической неустойчивости в том или ином соединении: например, в BaTiO₃ и SrTiO₃ эти вклады примерно одинаковы, но титанат стронция не является сегнетоэлектриком при нормальных условиях, в то же время в PSN и PST на ионах В и O_{||} короткодействующие вклады различают-

ся существенно, но оба соединения испытывают сегнетоэлектрический фазовый переход.

В общем виде дальнодействующие и короткодействующие вклады в частоту низкоэнергетической полярной моды явно выделить не удается (в отличие от случая двухатомного кристалла); эти вклады можно выделить только в элементах динамической матрицы. При численной диагонализации динамической матрицы теряется информация о роли различных взаимодействий в сегнетоэлектрической неустойчивости. Структура перовскита позволяет выполнить аналитическую диагонализацию динамической (или силовой) матрицы. В этом случае трижды вырожденные (без учета макроскопического поля) частоты оптических полярных мод колебаний являются корнями уравнения третьей степени

$$(\omega^2)^3 + C_2(\omega^2)^2 + C_1\omega^2 + C_0 = 0. \quad (6)$$

Величину ω^2 можно оценить в первом порядке по C_0 . В случае, когда коэффициент при первой степени в кубическом уравнении C_1 положителен (что выполняется для всех перечисленных в табл. 5 соединений, кроме KNbO₃), значение квадрата частоты низкоэнергетического полярного колебания определяется таким корнем уравнения, что в первом порядке

$$\omega^2 \approx -C_0/C_1. \quad (7)$$

Знак квадрата частоты ω^2 низкоэнергетической полярной моды колебаний определяется знаком C_0 — свободного члена кубического уравнения (7), который, в свою очередь, определяется комбинацией элементов силовой (или динамической) матрицы $D_{ij}^{\alpha\beta}(q=0)$, рассчитанной с выключенным макрополем. Приведенные нами расчеты показывают, что

$$C_0 = 5(cdf + 2cdg + cfg + 2dfg + b(c+f)(d+g) + (c+2d)(f+2g)j + b(c+2d+f+2g)j) \quad (8)$$

и

$$\begin{aligned} b &= D_{A-B}^{xx}, & c &= D_{A-O_{||}}^{xx}, & d &= D_{A-O_{\perp}}^{xx}, \\ f &= D_{B-O_{||}}^{xx}, & g &= D_{B-O_{\perp}}^{xx}, & j &= D_{O_{||}-O_{\perp}}^{xx}. \end{aligned} \quad (9)$$

В случае отрицательного коэффициента C_1 (это соответствует случаю KNbO₃) квадрат частоты низкоэнергетической полярной моды определяется другим корнем кубического уравнения и квадрат частоты в первом порядке определяется более сложным, чем (7), образом, но и в этом случае знак квадрата частоты определяется знаком коэффициента C_0 .

В табл. 6 приведены отношения C_0/C_1 и квадраты частот низкоэнергетических полярных мод. В

Таблица 7. Собственные векторы сегнетоэлектрической моды и спонтанная поляризация ($\text{Кл}/\text{м}^2$) в ромбоэдрической структуре для неупорядоченных и упорядоченных твердых растворов PSN и PST

| Неупорядоченные (структуря перовскита) | | | | | | |
|--|------|-----------------------------------|-------------|-----------------|-----------------|----------------|
| | Pb | $\langle \text{ScNb(Ta)} \rangle$ | O_{\perp} | O_{\parallel} | P_s (расчет) | P_s (эксп.) |
| $\text{PbSc}_{1/2}\text{Nb}_{1/2}\text{O}_3$ | 0.76 | 0.23 | -0.42 | -0.16 | 0.21 | 0.25 [23] |
| $\text{PbSc}_{1/2}\text{Ta}_{1/2}\text{O}_3$ | 0.75 | 0.15 | -0.47 | 0.05 | 0.30 | 0.21 [22] |
| Упорядоченные (структуря эльпасолита) | | | | | | |
| | Pb | Nb(Ta) | Sc | O_{\perp} | O_{\parallel} | P_s (расчет) |
| $\text{Pb}_2\text{ScNbO}_6$ | 0.53 | 0.07 | 0.27 | -0.29 | -0.11 | 0.18 |
| $\text{Pb}_2\text{ScTaO}_6$ | 0.54 | 0.04 | 0.11 | -0.31 | 0.00 | 0.17 |
| | | | | | | P_s (эксп.) |

столбце 3 приведены значения $C_{0,sh}/C_{1,sh}$, вычисленные без учета дальнодействующих диполь-дипольных взаимодействий (в этом случае коэффициент C_0 всегда отрицателен), а в столбце 2 — соответствующие квадраты частот. При включении дальнодействующих диполь-дипольных взаимодействий ряд соединений становится сегнетоэлектрически неустойчивыми (столбец 4), при этом коэффициент C_0 в этих соединениях становится положительным.

Величина и знак квадрата частоты низкоэнергетической полярной моды определяются практически всеми взаимодействиями в кристалле, но наиболее важную роль в существовании сегнетоэлектрической неустойчивости играет конкуренция дальнодействующих диполь-дипольных взаимодействий и короткодействующего взаимодействия между зарядом иона В и протяженным диполем кислорода О вдоль связи В–О. Это наглядно видно на примере твердого раствора $\text{KTa}_x\text{Nb}_{1-x}\text{O}_3$, для которого мы вычислили динамические заряды Борна и оптические частоты колебаний в рамках используемой здесь обобщенной модели Гордона–Кима [11] при разных концентрациях x на экспериментальном параметре решетки $a_0 = 4.0 \text{ \AA}$. Зависимость квадрата частоты низкоэнергетической полярной моды ω^2 от концентрации Та показано на рис. 3. Следует подчеркнуть, что концентрационная зависимость частоты мягкой моды и исчезновение сегнетоэлектрического фазового перехода при малых концентрациях тантала в твердом растворе КTN являются результатом данного расчета и не отвечают экспериментальной ситуации. Однако мы его приводим здесь для демонстрации важности В–О-взаимодействия в механизме сегнетоэлектрической неустойчивости окис-

лов со структурой перовскита. Действительно, при добавлении Та в KNbO_3 наиболее существенно меняется элемент силовой матрицы $f = D_{\text{B}-\text{O}}^{xx}$, тогда как остальные элементы практически не зависят от концентрации Та (при малых концентрациях).

На рис. 3 также приведены зависимости $Z_{din}(B)$, C_0 из формулы (8) и элемента силовой матрицы. На рисунках видно, что изменение взаимодействия В–О с добавлением Та приводит к существенной зависимости C_0 от концентрации и, в свою очередь, это приводит к резкому изменению ω^2 . При $x \approx 0.12$ C_0 и ω^2 одновременно меняют знак, и твердый раствор КTN становится устойчивым по отношению к сегнетоэлектрической моде колебаний. Следует добавить, что реальное поведение раствора КTN при малых концентрациях Та определяется наличием в нем уже упоминавшихся нами ранее упорядоченных нанообластей, для описания которых использованное выше приближение виртуального кристалла явно не применимо. К сожалению, теория, учитывающая наличие нанообластей, пока отсутствует.

Вернемся теперь к обсуждению твердых растворов PST и PSN. В вычисленных собственных векторах сегнетоэлектрической моды (табл. 7) для всех рассматриваемых соединений определяющими являются смещения ионов свинца и кислорода в направлении, перпендикулярном связи $\text{Ta(Nb)}-\text{O}$, тогда как смещения кислородов в направлении связи $\text{Ta(Nb)}-\text{O}$ и ионов Ta(Nb) незначительны. Экспериментальные исследования структуры сегнетоэлектрических фаз твердых растворов PSN и PST показывают, что как в упорядоченных, так и в неупорядоченных составах наибольшее смещение из положений высокотемпературной фазы испытывают ионы Pb [6, 20]. При смещениях ионов по собствен-

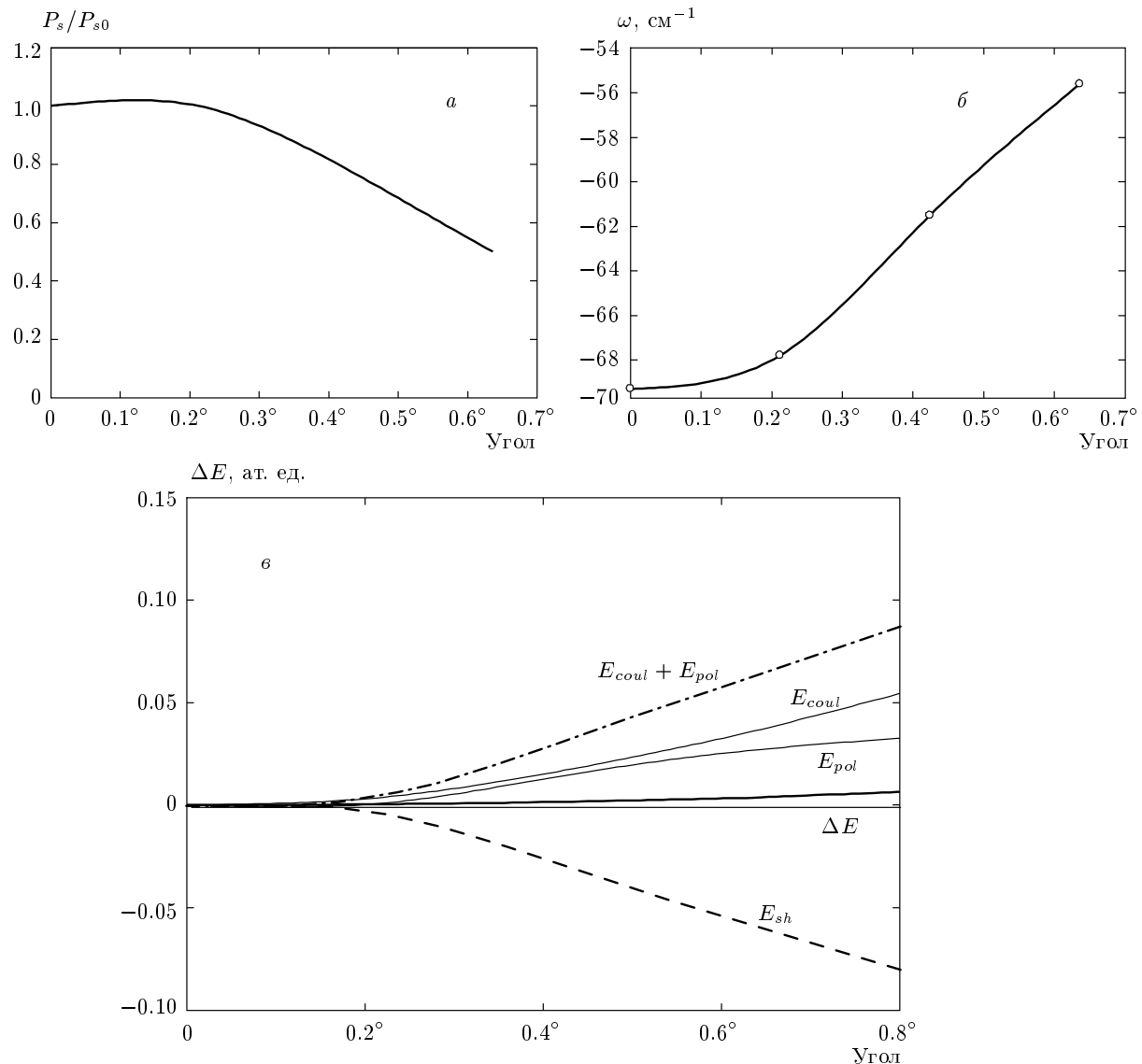


Рис. 4. Зависимость спонтанной поляризации (*a*), частоты сегнетоэлектрической моды (*б*), полной энергии и отдельных вкладов в нее (*б*) от угла поворота кислородного октаэдра в упорядоченном твердом растворе PST

ному вектору мягкой сегнетоэлектрической моды в кубической фазе энергетически более выгодной как в упорядоченных, так и в неупорядоченных твердых растворах PSN и PST оказывается структура со смещениями ионов в направлении (111). Симметрия кристалла при этом становится ромбоэдрической с сохранением числа атомов в элементарной ячейке, что соответствует экспериментальной ситуации [6, 20]. В табл. 7 приведены величины спонтанной поляризации, рассчитанные при смещениях ионов по собственному вектору сегнетоэлектрической моды в ромбоэдрической фазе. Полученные нами результаты качественно согласуются с экспе-

риментом [22, 23], однако рассчитанные величины несколько меньше.

Кроме сегнетоэлектрической «мягкой» моды (симметрия T_{1u}), как в упорядоченном, так и в неупорядоченном PST, имеются еще два типа неустойчивости симметрии T_{1g} (R_{25}) и T_{2g} (R_{15}), причем самой низкой является мягкая мода симметрии T_{1g} (R_{25}), собственные векторы которой соответствуют «повороту» октаэдра TaO₆. С увеличением угла «поворота» октаэдра частота сегнетоэлектрической моды повышается, а спонтанная поляризация уменьшается. На рис. 4 показаны зависимости частоты сегнетоэлектрической моды и

спонтанной поляризации от малого угла «поворота» октаэдра в кубической фазе. На этом же рисунке приведены зависимости полной энергии кристалла, а также кулоновского, короткодействующего и поляризационного вкладов от угла «поворота» октаэдра. Возрастание кулоновской энергии и энергии поляризации происходит быстрее, чем уменьшение энергии короткодействия, что и стабилизирует сегнетоэлектрическую моду. В работе [10] было показано, что в ромбоэдрической фазе в твердом растворе PST, помимо сегнетоэлектрических искажений, присутствуют искажения кристаллической решетки, соответствующие поворотам октаэдра.

В отличие от твердых растворов PST, в соединениях PSN веть колебаний кристаллической решетки, связанных с «поворотом» октаэдра NbO₆, оказывается устойчивой. Кроме сегнетоэлектрической неустойчивости в PSN, существует антисегнетоэлектрическая мягкая мода как в упорядоченном PSN, так и в неупорядоченном (табл. 4, рис. 1 и 2). Наличие двух мягких мод в различных точках зоны Брилюэна в неупорядоченном твердом растворе PSN отмечалось в работах [2, 7].

3. ЗАКЛЮЧЕНИЕ

В рамках обобщенной модели Гордона–Кима с учетом мультипольных поляризуемостей вычислены спектры частот колебаний, высокочастотные диэлектрические проницаемости, динамические заряды Борна и упругие модули упорядоченных и неупорядоченных твердых растворов PSN и PST. В обоих твердых растворах обнаружены несколько типов неустойчивостей кристаллической решетки в том числе и сегнетоэлектрическая. Величины динамических зарядов Борна и сегнетоэлектрическая неустойчивость в соединениях со структурой первовскита определяются конкуренцией диполь–дипольных и короткодействующих диполь–зарядовых взаимодействий. Все типы неустойчивости твердых растворов PSN и PST близки по энергии, что, по-видимому, может привести к довольно сложной картине кристаллических искажений в низкотемпературной фазе.

Авторы выражают благодарность О. Е. Квятковскому за полезные обсуждения.

Работа выполнена при финансовой поддержке РФФИ (гранты №№ 06-02-16091, 05-02-17359), а также в рамках программы поддержки Научных школ.

ЛИТЕРАТУРА

1. L. E. Cross, Ferroelectrics **76**, 241 (1987).
2. N. Takesue Y. Fujii, M. Ichihara, and H. Chen, Phys. Rev. Lett. **82**, 3709 (1999).
3. C. Perrin, N. Menguy, O. Bidault et al., J. Phys.: Condens. Matter **13**, 10231 (2001).
4. V. A. Isupov, Ferroelectrics **289**, 131 (2003).
5. B. Mihailova, U. Bismayer, B. Gütter et al., J. Phys.: Condens. Matter **14**, 1091 (2002).
6. P. M. Woodward and K. Z. Baba-Kishi, J. Appl. Cryst. **35**, 233 (2002).
7. V. V. Laguta, M. D. Glinchuk, I. P. Bykov et al., Rhys. Rev. B **69**, 054103 (2004).
8. I. G. Siny, S. G. Lushnikov, and R. S. Katiyar, Ferroelectrics **231**, 115 (1999).
9. E. A. Rogacheva, Physica B **291**, 359 (2000).
10. W. Dmowski, M. K. Akbas, P. K. Davies, and T. Egami, J. Phys. Chem. Sol. **61**, 229 (2000).
11. Е. Г. Максимов, В. И. Зиненко, Н. Г. Замкова, УФН **174**, 1145 (2004).
12. В. И. Зиненко, С. Н. Софонова, ФТТ **46**, 1252 (2004).
13. W. Zhong, R. D. King-Smith, and D. Vanderbilt, Phys. Rev. Lett. **72**, 3618 (1994).
14. N. G. Zamkova, V. I. Zinenko, O. V. Ivanov et al., Ferroelectrics **283**, 49 (2003).
15. О. Е. Квятковский, Е. Г. Максимов, УФН **154**, 3 (1988).
16. О. Е. Квятковский, ФТТ **27**, 2673 (1985).
17. О. Е. Kvyatkovskii, Ferroelectrics **153**, 201 (1994).
18. О. Е. Квятковский, Изв. АН, сер. физ. **64**, 1060 (2000).
19. W. P. Mason and B. T. Matthias, Phys. Rev. **74**, 1622 (1948).
20. C. Perrin, N. Menguy, E. Suard et al., J. Phys.: Condens. Matter **12**, 7523 (2000).
21. A. I. Fedoseev, S. G. Lushnikov, J.-H. Ko, and S. Kojima, Ferroelectrics **320**, 75 (2005).
22. P. Groves, J. Phys. C: Sol. St. Phys. **18**, L1073 (1985).
23. F. Chu, I. M. Reaney, and N. Setter, J. Appl. Phys. **77**, 1671 (1995).